

*P. С. Буркина, А. Г. Князева*

## ВЛИЯНИЕ АВТОКАТАЛИЗА НА КРИТИЧЕСКИЕ УСЛОВИЯ ОЧАГОВОГО ТЕПЛОВОГО ВОСПЛАМЕНЕНИЯ

Рассмотрена задача об очаговом тепловом воспламенении в веществе, способном к автокаталитическому превращению. Методом сращиваемых асимптотических разложений получено выражение для критического значения параметра Франк-Каменецкого. Определены особенности этого выражения, связанные с автокатализом. Исследованы предельные случаи сильного и слабого автокатализа.

При экспериментальном исследовании чувствительности химически активных веществ к нетепловым внешним воздействиям установлено [1, 2], что в очагах разогрева (горячих точках), являющихся наиболее вероятными центрами возникновения взрыва, реакция экзотермического разложения часто протекает по автокаталитическому механизму. Известные в настоящее время зависимости критического параметра Франк-Каменецкого  $\delta_*$  от температурного напора очага  $\Theta_0$ , например [3—6], этот факт не учитывают. Частный случай задачи с автокатализом рассмотрен в [7]. Поскольку автокатализ вносит существенные особенности в характеристики воспламенения и зажигания, представляется интересным исследование процесса очагового теплового воспламенения с автокаталитической реакцией. Не вдаваясь в механизм образования очагов, рассмотрим задачу в следующей постановке.

В веществе, способном к автокаталитическому превращению в момент времени  $t = 0$ , существует неоднородность в распределении температуры, задаваемая функцией  $f(x/R_0)$ :

$$T(0, x) = T_n + (T_0 - T_n)f(x/R_0), \quad (1)$$

причем  $f(x/R_0)$  имеет максимум в точке  $x = 0$  и монотонно убывает с ростом  $x$  до нуля. Теплофизические и кинетические характеристики вещества считаются постоянными, начальное выгорание — нулевое:  $y(0, x) = 0$ . Требуется определить поля температуры и выгорания вещества, время развития химической реакции и предел воспламенения.

Для сферически симметричного распределения задача описывается системой уравнений теплопроводности и химической кинетики с автокатализом первого порядка

$$\begin{aligned} c\rho \frac{\partial T}{\partial t} &= \lambda \frac{1}{x^2} \frac{\partial}{\partial x} x^2 \frac{\partial T}{\partial x} + Q k_0 \rho^2 \varphi(y) e^{-E/RT}, \\ \rho \frac{\partial y}{\partial t} &= D \frac{1}{x^2} \frac{\partial}{\partial x} x^2 \frac{\partial y}{\partial x} + \rho^2 k_0 \varphi(y) e^{-E/RT}, \end{aligned} \quad (2)$$

где  $\varphi(y) = (1 - y)(y_0 + y)$ ;  $y_0 = \text{const}$  — в общем случае либо начальное значение продукта реакции в веществе, либо отношение скоростей простой и автокаталитической реакций, протекающих при приблизительно равных энергиях активации.

На границе и в центре очага выполняются следующие условия [5]:

$$\left. \frac{\partial T}{\partial x} \right|_{x=0} = \left. \frac{\partial T}{\partial x} \right|_{x \rightarrow \infty} = \left. \frac{\partial y}{\partial x} \right|_{x=0} = \left. \frac{\partial y}{\partial x} \right|_{x \rightarrow \infty} = 0. \quad (3)$$

Введем безразмерные переменные [4, 5]

$$\begin{aligned} \Theta &= \frac{E(T_0 - T)}{RT_0^2}, \quad \tau = \frac{t}{t_{\text{ад}}}, \quad \xi = \frac{x}{R_0}, \\ t_{\text{ад}} &= cRT_0^2 \exp(E/RT_0)/(EQk_0\rho^2), \end{aligned} \quad (4)$$

$R_0$  — радиус очага разогрева;  $T_0$  — максимальная температура в очаге в начальный момент времени;  $T_n$  — температура вдали от очага. Тогда в безразмерных переменных система уравнений (2) с начальными и гра-

ничными условиями (4), (3) примет вид

$$\frac{\partial \Theta}{\partial \tau} = \delta^{-1} \frac{1}{\xi^2} \frac{\partial}{\partial \xi} \xi^2 \frac{\partial \Theta}{\partial \xi} - \exp \left( -\frac{\Theta}{1 - \sigma \Theta / \Theta_0} \right) \varphi(y), \quad (5)$$

$$\frac{\partial y}{\partial \tau} = \delta^{-1} \operatorname{Le} \frac{1}{\xi^2} \frac{\partial}{\partial \xi} \xi^2 \frac{\partial y}{\partial \xi} + \gamma \exp \left( -\frac{\Theta}{1 - \sigma \Theta / \Theta_0} \right) \varphi(y), \quad (6)$$

$$\Theta(0, \xi) = \Theta_0 [1 - f(\xi)], \quad y(0, \xi) = 0, \quad (7)$$

$$\frac{\partial \Theta(\tau, 0)}{\partial \xi} = \frac{\partial \Theta(\tau, \infty)}{\partial \xi} = \frac{\partial y(\tau, 0)}{\partial \xi} = \frac{\partial y(\tau, \infty)}{\partial \xi} = 0, \quad (8)$$

$$\operatorname{Le} = Dc\rho/\lambda, \quad \gamma = c\rho RT_0^2/EQ,$$

$$\Theta_0 = \frac{E(T_0 - T_H)}{RT_0^2}, \quad \delta = R_0^2 \left( \frac{\lambda}{c\rho} t_{\text{ад}} \right).$$

Решение задачи проведем методом срашиваемых асимптотических разложений при  $\delta \gg 1$ ,  $\Theta_0 \gg 1$ ,  $\gamma < 1$ ,  $y_0 < 1$ .

Пусть  $\Theta = v + \Theta_I$ , где  $\Theta_I$  является решением инертной задачи

$$\frac{\partial \Theta_I}{\partial \tau} = \xi^{-1} \frac{1}{\xi^2} \frac{\partial}{\partial \xi} \left( \xi^2 \frac{\partial \Theta_I}{\partial \xi} \right),$$

$$\Theta_I(0, \xi) = \Theta_0 [1 - f(\xi)], \quad (9)$$

$$\frac{\partial \Theta_I}{\partial \xi} \Big|_{\xi=0} = \frac{\partial \Theta_I}{\partial \xi} \Big|_{\xi \rightarrow \infty} = 0,$$

а  $v$  определяется из системы уравнений

$$\frac{\partial v}{\partial \tau} = \delta^{-1} \frac{1}{\xi^2} \frac{\partial}{\partial \xi} \xi^2 \frac{\partial v}{\partial \xi} - \exp \left( -\frac{\Theta_I + v}{1 - \frac{\sigma}{\Theta_0} (\Theta_I + v)} \right) \varphi(y), \quad (10)$$

$$\frac{\partial y}{\partial \tau} = \delta^{-1} \operatorname{Le} \frac{1}{\xi^2} \frac{\partial}{\partial \xi} \xi^2 \frac{\partial y}{\partial \xi} + \gamma \exp \left( -\frac{\Theta_I + v}{1 - \frac{\sigma}{\Theta_0} (\Theta_I + v)} \right) \varphi(y), \quad (11)$$

$$v(0, \xi) = y(0, \xi) = 0, \quad (12)$$

$$\frac{\partial v}{\partial \xi} \Big|_{\xi=0} = \frac{\partial v}{\partial \xi} \Big|_{\xi \rightarrow \infty} - \frac{\partial y}{\partial \xi} \Big|_{\xi=0} = \frac{\partial y}{\partial \xi} \Big|_{\xi \rightarrow \infty} = 0. \quad (13)$$

Решение инертной задачи (9) известно [5]:

$$\Theta_I(\tau, \xi) = \frac{1}{2\xi} \left( \frac{\delta}{\pi \tau} \right)^{1/2} \Theta_0 \int_0^\infty z [1 - f(z)] \left\{ \exp \left[ -\frac{\delta(z - \xi)^2}{4\tau} \right] - \right. \\ \left. - \exp \left[ -\frac{\delta(z + \xi)^2}{4\tau} \right] \right\} dz. \quad (14)$$

Для определения поля температуры и глубины превращения в окрестности очага в системе уравнений (10), (11) проведем разложение по малым величинам  $\Theta_0^{-1}$ ,  $\delta^{-1}$ . В результате с точностью до главных порядков имеем:

$$\frac{\partial v}{\partial \tau} = -\exp[-(\Theta_I + v)] \varphi(y) + O(\delta^{-1}, \Theta_0^{-1}), \quad (15)$$

$$\frac{\partial y}{\partial \tau} = \gamma \exp[-(\Theta_I + v)] \varphi(y) + O(\delta^{-1}, \Theta_0^{-1});$$

$$\frac{\partial v(\tau, 0)}{\partial \xi} = \frac{\partial y(\tau, 0)}{\partial \xi} = v(\tau, \xi) = y(\tau, \xi) = 0. \quad (16)$$

При нахождении решения вдали от очага введем новые переменные

$$v_1 = \frac{v}{\Theta_0}, \quad \xi_1 = \sqrt{\delta}(\xi - 1), \quad y = y_1,$$

тогда система уравнений (10), (11) с точностью до экспоненциально малых величин переписывается для температуры

$$\begin{aligned} \frac{\partial v_I}{\partial \tau} &= \frac{\partial^2 v_I}{\partial \xi_I^2}, \\ v_I(0, \xi_I) &= \partial v_I(\infty, \tau)/\partial \xi_I = 0, \\ v_I(\tau, -V\delta) &= 1/\Theta_0 v(\tau, 1), \end{aligned} \quad (17)$$

для глубины превращения

$$\begin{aligned} \frac{\partial y_I}{\partial \tau} &= \text{Le} \frac{\partial^2 y_I}{\partial \xi_I^2}, \\ y_I(0, \xi_I) &= \partial y_I(\tau, \infty)/\partial \xi_I = 0, \\ y_I(\tau, -V\delta) &= y(\tau, 1). \end{aligned} \quad (18)$$

Решение задач (17) и (18) имеет вид

$$v_I(\tau, \xi_I) = \Theta_0^{-1} \frac{(\xi_I + V\delta)}{2\sqrt{\pi}} \int_0^\tau \frac{v(\tau, 1)}{(\tau - z)^{3/2}} e^{-\frac{(\xi_I + V\delta)^2}{4(\tau-z)}} dz, \quad (19)$$

$$y_I(\tau, \xi_I) = \frac{(\xi_I + V\delta)}{2\sqrt{\pi}} \int_0^{\tau \text{Le}} \frac{y(\tau \text{Le}, 1)}{(\tau \text{Le} - z)^{3/2}} e^{-\frac{(\xi_I + V\delta)^2}{4(\tau \text{Le}-z)}} dz, \quad (20)$$

где  $v(\tau, 1)$ ,  $y(\tau, 1)$  — решение внутренней задачи (15) на границе очага при  $\xi = 1$  (ниже находятся из (21), (22)).

Таким образом, поля температуры и глубины превращения вдали от очага полностью определены. Первый интеграл системы (15) имеет вид

$$y = -\gamma v. \quad (21)$$

Подставляя (21) в первое уравнение системы (15), после интегрирования получим

$$\frac{1}{(y_0 + 1)} \left\{ \int_0^v \frac{\exp(z)}{1 + \gamma z} dz + \int_0^v \frac{\exp(z)}{y_0 - \gamma z} dz \right\} = - \int_0^\tau \exp(-\Theta_I) d\tau. \quad (22)$$

Время воспламенения определим по максимуму скорости химического тепловыделения

$$\frac{\partial W}{\partial v} = 0, \quad W = -\exp(-\Theta_I - v) \varphi(v), \quad \varphi(v) = (1 + \gamma v)(y_0 - \gamma v).$$

Так как  $\Theta_I(\xi, \tau)$  — малая величина вблизи центра разогрева (см. (14)), то воспользуемся разложением

$$W = e^{-(\Theta_I + v)} \varphi(v) = e^{-v} \varphi(v) \left[ 1 - \Theta_I + \frac{\Theta_I^2}{2} + \dots \right] \approx e^{-v} \varphi(v).$$

В результате

$$\frac{\partial W}{\partial v} = e^{-v} [\varphi(v) - \varphi'(v)] = 0,$$

откуда

$$\gamma^2 v^2 + v(-2\gamma^2 - \gamma y_0 + \gamma) + \gamma y_0 - \gamma - y_0 = 0.$$

Физический смысл, согласно обезразмериванию, имеет отрицательный корень

$$v_m = \frac{2\gamma + y_0 - 1 - \sqrt{4\gamma^2 + (y_0 + 1)}}{2\gamma} \approx -\frac{1}{\gamma} + 1 + 0(\gamma). \quad (23)$$

Видим, что при любом соотношении параметров  $\gamma$  и  $y_0$  порядок максимальной температуры определяется только величиной  $\gamma$ .  
Обозначив

$$F(\gamma, y_0) = -\frac{1}{(y_0 + 1)} \left\{ \int_0^{v_m} \frac{\exp(z)}{1 + \gamma z} dz + \int_0^{v_m} \frac{\exp(z)}{y_0 - \gamma z} dz \right\}, \quad (24)$$

из (22) для определения времени воспламенения  $\tau_B$  (времени достижения в центре очага разогрева  $v_m$ ) имеем

$$F(\gamma, y_0) = \int_0^{\tau_B} \exp[-\Theta_I(\tau, 0)] d\tau.$$

Разлагая экспоненту в ряд и беря интеграл с точностью до главных порядков аналогично [5], для времени воспламенения получаем

$$\tau_B - F(\gamma, y_0) = \beta_N \frac{2}{N+2} \tau_B^{(N+2)/2}, \quad (25)$$

$$\left. \begin{aligned} \beta_N &= -f^N(0) \alpha_N \frac{N+1}{N!!} \left( \frac{2}{\delta} \right)^{\frac{N}{2}} \Theta_0, \\ \alpha_N &= \begin{cases} \sqrt{2/\pi}, & N = 2k+1, \\ 1, & N = 2k. \end{cases} \end{aligned} \right\} \quad (26)$$

Критические условия воспламенения определяются из условия равенства правых частей (25) и их производных:

$$\begin{aligned} \tau_{B*} &= \frac{N+2}{N} F(\gamma, y_0), \\ \delta_* &= \frac{2(N+2)}{N} F(\gamma, y_0) \left[ -f^{(N)}(0) \alpha_N \frac{N+1}{N!!} \Theta_0 \right]^{2/N}. \end{aligned} \quad (27)$$

Из (27) видно, что зависимость критического значения параметра Франк-Каменецкого и времени воспламенения от температурного напора и тепловой неоднородности такая же, как и в случае простой реакции нулевого порядка. Все ее особенности показаны в [5]. Влияние автокатализа и выгорания проявляется через функцию  $F(\gamma, y_0)$ , таким образом получаем

$$\frac{\delta_*}{\delta_{*0}} = \frac{\tau_{B*}}{\tau_{B*0}} = F(\gamma, y_0). \quad (28)$$

Здесь  $\delta_{*0} = \frac{2(N+2)}{N} \left[ -f(0) \alpha_N \frac{N+1}{N!!} \Theta_0 \right]^{2/N}$ ,  $\tau_{B*0} = \frac{N+2}{N}$  — соответствующие критические характеристики в случае простой реакции. Характерные особенности отношения (28) следуют из анализа функции  $F(\gamma, y_0)$ .

Учитывая, что для задач теплового воспламенения  $\gamma \ll 1$ , подставим значение  $v_m$  из (23), тогда

$$\begin{aligned} \int_0^{v_m} \frac{\exp(z) dz}{1 + \gamma z} &= e^{v_m} - 1 + \gamma \left[ (1 - v_m) e^{v_m} - 1 \right] + O(\gamma^2) = \\ &= 2e^{-\frac{1}{\gamma} + 1} - 1 - \gamma + O(\gamma^2) = -1 - \gamma + O(\gamma^2). \end{aligned} \quad (29)$$

Из второго интеграла в правой части (24) получаем

$$\int_0^{y_0} \frac{\exp(z)}{y_0 - \gamma z} dz = \frac{1}{\gamma} \int_0^{-\frac{1}{\gamma}+1} \frac{\exp(z)}{\frac{y_0}{\gamma} - z} dz = \\ = \frac{1}{\gamma} e^{y_0/\gamma} \left[ \text{Ei}\left(-\frac{1}{\gamma} - \frac{y_0}{\gamma} + 1\right) - \text{Ei}\left(-\frac{y_0}{\gamma}\right) \right],$$

где  $\text{Ei}(-x) = \int_{-\infty}^{-x} \frac{e^t}{t} dt$  — интегральная показательная функция [8].

В результате для  $F(\gamma, y_0)$  имеем выражение

$$F(\gamma, y_0) = -\frac{1}{1+y_0} \left\{ -\frac{1}{\gamma} e^{y_0/\gamma} \left[ \text{Ei}\left(-\frac{1}{\gamma} - \frac{y_0}{\gamma} + 1\right) - \text{Ei}\left(-\frac{y_0}{\gamma}\right) \right] - 1 - \gamma + O(\gamma^2) \right\}. \quad (30)$$

С учетом малости  $\gamma$

$$\frac{1}{\gamma} e^{y_0/\gamma} \text{Ei}\left(-\frac{1}{\gamma} - \frac{y_0}{\gamma} + 1\right) = O(\gamma^{-1/\gamma}),$$

поэтому формулу (30) с точностью до  $O(\gamma^{-1/\gamma})$  можно преобразовать:

$$F(\gamma, y_0) = -\frac{1}{1+y_0} \left\{ \frac{1}{\gamma} e^{y_0/\gamma} \text{Ei}\left(-\frac{y_0}{\gamma}\right) - 1 - \gamma + O(\gamma^2) \right\}. \quad (31)$$

Оценка  $\text{Ei}(-y_0/\gamma)$  зависит от соотношения  $y_0$  и  $\gamma$ . При слабом автокатализе  $y_0 \gg \gamma$ , следовательно,  $y_0/\gamma \gg 1$  и

$$\frac{1}{\gamma} e^{y_0/\gamma} \text{Ei}\left(-\frac{y_0}{\gamma}\right) = -\frac{1}{y_0} \left[ 1 - \frac{\gamma}{y_0} + O\left(\frac{\gamma^2}{y_0^2}\right) \right]. \quad (32)$$

Из (31), (32) для области слабого автокатализа получаем

$$F(\gamma, y_0) = F_1(\gamma, y_0) = \frac{1}{y_0} \left[ 1 - \frac{\gamma}{y_0} (1 - y_0) + O\left(\frac{\gamma^2}{y_0^2}\right) \right]. \quad (33)$$

При  $y_0 \rightarrow 1$   $F(\gamma, y_0) \rightarrow 1$ , как и для простой реакции нулевого порядка.

В случае сильного автокатализа ( $y_0 \ll \gamma \ll 1$ )

$$\text{Ei}\left(-\frac{y_0}{\gamma}\right) = \ln\left(C_1 \frac{y_0}{\gamma}\right) - \frac{y_0}{\gamma} + O\left(\left(\frac{y_0}{\gamma}\right)^2\right), \quad (34)$$

где  $C_1 = 1,781$  — постоянная Эйлера [8]. Из (31), (34) следует

$$F(\gamma, y_0) = F_2(\gamma, y_0) = -\frac{1}{\gamma(1+y_0)} \left[ e^{y_0/\gamma} \ln\left(C_1 \frac{y_0}{\gamma}\right) - \frac{y_0}{\gamma} - \gamma + O\left(\gamma^2, \left(\frac{y_0}{\gamma}\right)^2\right) \right]. \quad (35)$$

Исследование функции  $F(\gamma, y_0)$  показывает, что она имеет минимум по  $\gamma$  (рис. 1), положение которого зависит от  $y_0$ . При  $y_0 > 0,147$   $\gamma_{\min} < 1$ , поэтому для представляющих интерес параметров  $\gamma \ll 1$  минимум  $F(\gamma, y_0)$  проявляется лишь в области слабого автокатализа. С ростом  $y_0$  минимум  $F$  ослабевает и  $\gamma_{\min} \rightarrow 0$ . При  $y_0 = 1$   $\gamma_{\min} = 0$  и с точностью до  $\gamma^2$   $F(\gamma, 1) = 1$ , что соответствует простой реакции.

Наличие минимума связано с двояким влиянием выгорания при автокатализе. Начальное возрастание  $\gamma$  от нуля увеличивает выгорание и способствует автокаталитическому ускорению химической реакции. Однако, начиная с  $\gamma_{\min}$ , скорость химической реакции опять уменьшается в результате значительного выгорания реагента, величина критических

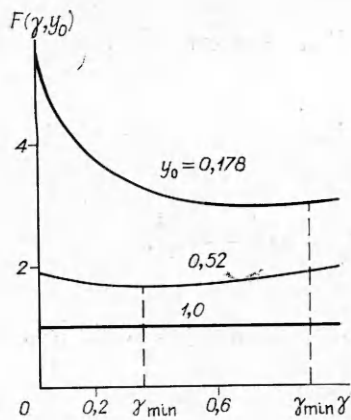


Рис. 1. Зависимость  $F(\gamma, y_0)$  при фиксированных  $y_0$ .

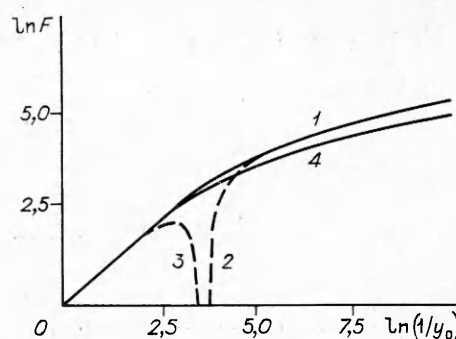
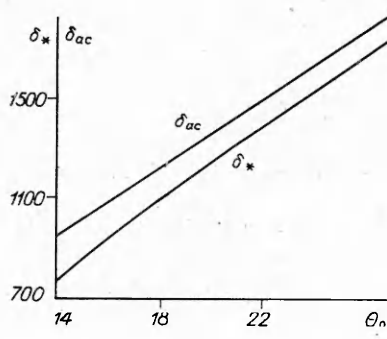


Рис. 2. Зависимость  $\ln F$  от  $\ln(1/y_0)$ .  
1 — расчет по (31); 2 — по (35); 3 — по (33); 4 — численный счет  $\ln(\delta^*/\delta_{*0})$  исходной задачи при  $\Theta_0 = 25$ ,  $\sigma = 0,5$ ,  $Le = 0$ ,  $f(\xi) = e^{-\xi^2}$ .



Видно, что в областях сильного и слабого автокатализа расчет по общей формуле и по упрощенным дает хорошее согласие. Результат численного счета  $\delta_*$  исходной задачи (5) — (8) удовлетворительно согласуется с теоретическими зависимостями.

В заключение рассмотрим очаговое воспламенение тетрила, физико-кинетические параметры которого [9, 10]:  $y_0 = 0,175$ ,  $E = 38$  ккал/моль,  $Q = 520$  кал/см,  $c = 0,3$  кал/(г · К),  $\lambda = 0,17$  Вт/(м · К),  $k_0 = 10^{15,6}$  1/с. Приняв  $T_0 = 573$  К, получаем  $\gamma = 0,01515$ ,  $\sigma/\Theta_0 = 0,0299$ . Следовательно, рассматривается область слабого автокатализа. Так как  $\gamma \ll y_0$ , из (33) имеем  $F(\gamma, y_0) \sim 1/y_0 + O(\gamma, (\gamma/y_0)^2)$ . Значения критического параметра Франк-Каменецкого, полученные при численном решении задачи (5) — (8) (алгоритм счета описан в [7]) с начальным распределением  $\Theta(0, \xi) = \Theta_0[1 - e^{-\xi^2}]$  в сравнении с зависимостью  $\delta_{ac}(\Theta_0) = 12\Theta_0/y_0$ , полученной по (27), приведены на рис. 3. Видно, что с увеличением  $\Theta_0$  численное значение  $\delta_*$  приближается к асимптотическому. Так, при  $\Theta_0 = 14,5$   $\Delta\delta = [(\delta_{ac} - \delta_*)/\delta_*] \cdot 100\% = 22,8\%$ , а при  $\Theta_0 = 26,2$  отклонение уменьшается до  $5,9\%$ .

#### ЛИТЕРАТУРА

1. Андреев К. К., Беляев А. Ф. Теория взрывчатых веществ.— М.: Оборонгиз, 1969.
2. Андреев К. К. Термическое разложение и горение взрывчатых веществ.— М.: ГЭИ, 1957.
3. Мержанов А. Г., Барзыкин В. В., Гонтковская В. Т. // Докл. АН СССР.— 1963.— 148.— С. 380—388.
4. Буркина Р. С., Вилюнов В. Н. // О возбуждении химической реакции в «горячей точке» // ФГВ.— 1980.— 16, № 4.— С. 75—79.
5. Буркина Р. С., Вилюнов В. Н. // Хим. физика.— 1982.— 1, № 3.— С. 419—422.
6. Князева А. Г., Буркина Р. С., Вилюнов В. Н. // Особенности очагового теплового воспламенения при различных начальных распределениях температуры // ФГВ.— 1988.— 24, № 3.

7. Князева А. Г., Буркина Р. С. // Томск, 1986.— Деп. в ВИНИТИ 3.09.86, № 6809—13.  
 8. Янке Е., Эмде Ф., Леш Ф. Специальные функции.— М.: Наука, 1977.  
 9. Мержанов А. Г., Барзыкин В. В., Абрамов В. Г. и др. // ЖФХ.— 1961.— XXXV, № 9.— С. 2083—2089.  
 10. Химическая энциклопедия.— М.: Сов. энциклопедия, 1967.— Т. 5.

г. Томск

Поступила в редакцию 16/II 1988,  
после доработки — 15/VI 1988

УДК 541.124

*И. Р. Бегишев, А. К. Беликов, В. Г. Нечитайло*

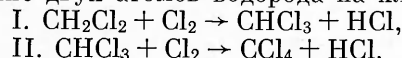
## ФОТОТЕПЛОВОЕ ВОСПЛАМЕНЕНИЕ ГАЗОВЫХ СМЕСЕЙ ДИХЛОРМЕТАНА И ХЛОРА

Рассмотрен температурный режим при воспламенении смесей дихлорметана и хлора под действием света ртутной лампы. В смесях с концентрацией дихлорметана меньше нижней концентрационного предела воспламенения реакция протекает в неизотермическом режиме со значительным разогревом смеси. При большей концентрации дихлорметана реакция имеет взрывной характер, смесь воспламеняется. Исследовано ингибирование процесса фотовоспламенения кислородом. Показано, что для описания процесса фотовоспламенения в начальный период можно использовать уравнение для скорости реакции, полученное в предположении квазистационарности активных частиц.

Газовые смеси дихлорметана и хлора способны к распространению пламени. Концентрационные пределы воспламенения, измеренные стандартными методами с использованием в качестве источника зажигания искру высоковольтного индуктора, составляют 16,7 и 52,9 % (по объему) [1]. Взаимодействие между дихлорметаном и хлором, кинетика и механизм которого хорошо изучены, может протекать под действием света с высокой скоростью даже при комнатной температуре. Реакция имеет достаточно большой тепловой эффект, поэтому в результате высокой скорости процесса реакционная смесь сильно разогревается. Возникает вопрос: не приведет ли интенсивное тепловыделение в смеси к появлению в ней пламени и возникновению горения?

Воспламенение органических соединений с хлором при фотохимическом инициировании реакции к настоящему времени практически не изучено. Исследовались лишь газовые смеси ( $\text{Cl}_2 + \text{H}_2$  и  $\text{ClF} + \text{Cl}_2 + \text{H}_2$ ) при давлении  $p = 105$  Торр под действием короткого импульса УФ-излучения длительностью порядка нескольких микросекунд [2]. В [3, 4] указывалось на возможность воспламенения кислородных смесей метана и водорода в присутствии  $\text{NO}_2$  и  $\text{O}_3$  при воздействии лазерного импульса.

При хлорировании дихлорметана происходит последовательное замещение двух атомов водорода на хлор:



Каждая из стадий протекает по радикально-ценному механизму, который включает в себя следующие элементарные реакции:

0.  $\text{Cl}_2 + h\nu \rightarrow 2\text{Cl}^{\cdot}$  — зарождение цепи,
1.  $\text{Cl}^{\cdot} + \text{RH} \rightarrow \text{R}^{\cdot} + \text{HCl}$  } — продолжение цепи,
2.  $\text{R}^{\cdot} + \text{Cl}_2 \rightarrow \text{RCl} + \text{Cl}^{\cdot}$  } — продолжение цепи,
3.  $\text{R}^{\cdot} + \text{R}^{\cdot} \rightarrow \text{R}_2$
4.  $\text{R}^{\cdot} + \text{Cl}^{\cdot} \rightarrow \text{RCl}$
5.  $\text{Cl}^{\cdot} + \text{Cl}^{\cdot} + \text{M} \rightarrow \text{Cl}_2 + \text{M}^*$  } — обрыв цепи.

Скорость изменения концентраций активных частиц определяется уравнениями

$$\frac{d[\text{Cl}^{\cdot}]}{d\tau} = W_i + k_2 [\text{R}^{\cdot}] [\text{Cl}_2] - k_1 [\text{Cl}^{\cdot}] [\text{RH}] - k_4 [\text{Cl}^{\cdot}] [\text{R}^{\cdot}] - 2k_5 [\text{Cl}^{\cdot}]^2 [\text{M}], \quad (1)$$

$$\frac{d[\text{R}^{\cdot}]}{d\tau} = k_1 [\text{Cl}^{\cdot}] [\text{RH}] - k_2 [\text{R}^{\cdot}] [\text{Cl}_2] - 2k_3 [\text{R}^{\cdot}]^2 - k_4 [\text{Cl}^{\cdot}] [\text{R}^{\cdot}], \quad (2)$$